

ухудшает значение функционала. При углах текстуры, превышающих 45° , оптимальный при $\beta = 0$ проект становится неэффективным.

1. Баничук Н. В. Оптимизация форм упругих тел. — М.: Наука, 1980.—256 с.
2. Бологин В. В., Новичков Ю. Н. Механика многослойных конструкций. — М.: Машиностроение, 1980.—375 с.
3. Кристенсен Р. Введение в механику композитов. — М.: Мир, 1982.—336 с.

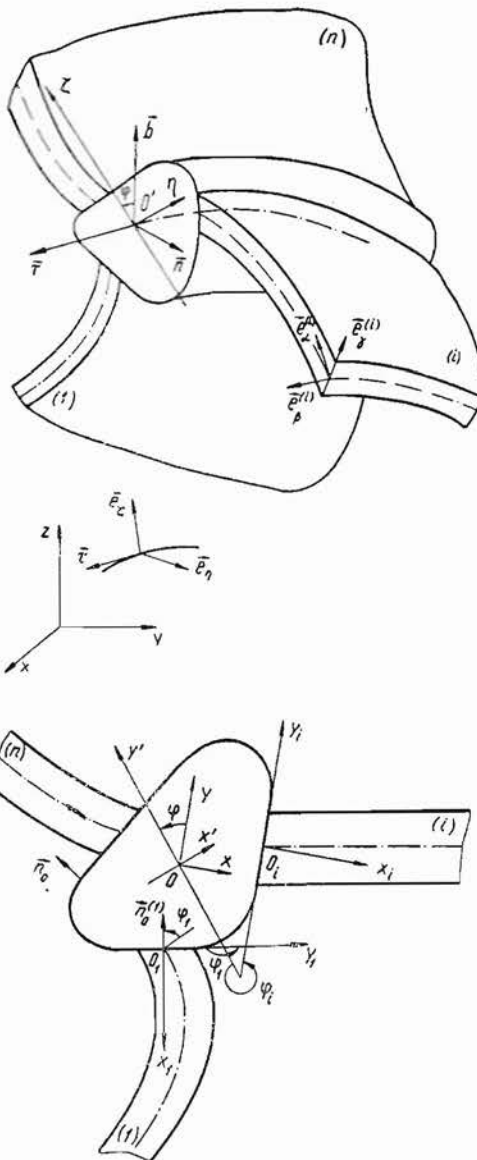
Ин-т проблем механики
АН СССР, Москва

Получено 17.07.84

УДК 539.377 : 629.13.01 : 624.072.4

Н. И. Войтович

УСЛОВИЯ НЕИДЕАЛЬНОГО ТЕРМОМЕХАНИЧЕСКОГО КОНТАКТА СОПРЯЖЕННЫХ ОБОЛОЧЕК



Условия неидеального теплового контакта двух твердых тел, сопряженных с помощью тонкого промежуточного слоя, были получены Я. С. Подстригачем [4, 5]. В дальнейшем он и его ученики, основываясь на изложенных в этих работах идеях, предложили различные обобщения условий неидеального как теплового, так и термомеханического контактов двух тел, сопряженных через элемент типа промежуточного слоя [6, 7, 10], а также двух сопряженных встык пластин [3, 8]. В настоящей работе условия неидеального термомеханического контакта получены в случае, когда количество сопрягаемых тонкостенных элементов (оболочек, пластин) произвольно, сопрягающий элемент имеет произвольное поперечное сечение, взаимное размещение срединных поверхностей оболочек (пластин) и оси сопрягающего их стержня также достаточно произвольно.

Рассмотрим систему, состоящую из n оболочек (пластин) и сопрягающего их плоского криволинейного стержня произвольного поперечного сечения под воздействием тепловых и силовых факторов. Общий вид системы изображен на рис. 1; на рис. 2 представлено ее нормальное к оси стержня сечение. Стержень отнесем к смешанной системе координат

Рис. 1.

Рис. 2.

нат η, ζ, s_0 : оси η и ζ совместим с главными осями поперечного сечения; в качестве координатной линии $\eta=0, \zeta=0$ выберем некоторую эквидистантную оси стержня кривую и будем ее называть базисной линией; s_0 — длина дуги этой линии. Базисная линия, в частности, может совпадать с осью стержня.

Кинематические соотношения для рассматриваемого плоского криволинейного стержня представим в векторной форме

$$e_0 = \vec{\tau} \frac{d\vec{u}_0}{ds_0}, \quad \vec{\theta}_0 = \vec{\tau} \times \frac{d\vec{u}_0}{ds_0}, \quad \vec{\omega} = \frac{d\vec{\theta}}{ds_0}, \quad \vec{\theta} = \vec{\theta}_0 + \theta_{0z}\vec{\tau}. \quad (1)$$

Здесь e_0 — относительное удлинение базисной линии; \vec{u}_0 — вектор перемещений базисной линии; $\vec{\theta}$ — вектор поворота осей подвижного трехгранника базисной линии вследствие деформации стержня; θ_{0z} — угол закручивания; $\vec{\omega}$ — вектор относительной угловой деформации базисной линии; производная в этих соотношениях берется в неподвижной системе координат x, y, z .

Из условий равновесия всех приложенных к элементу ds_0 сил получаем

$$\frac{d\vec{V}}{ds_0} + \sum_{i=1}^n \frac{r_i}{r_0} \vec{N}_1^{(i)} + \vec{q} = 0, \quad (2)$$

$$\frac{d\vec{M}}{ds_0} + (\vec{\tau} \times \vec{V}) + \sum_{i=1}^n \frac{r_i}{r_0} [\vec{M}_1^{(i)} + (\vec{\rho}_i \times \vec{N}_1^{(i)})] + \vec{m} = 0.$$

В уравнениях (2) обозначено: \vec{V} и \vec{M} — главный вектор и главный момент внутренних напряжений, действующих в поперечном сечении стержня; $\vec{N}_1^{(i)}$ и $\vec{M}_1^{(i)}$ — векторы усилий и моментов, передающихся от сопрягаемых оболочек; \vec{q} — вектор распределенных по длине стержня сил; \vec{m} — распределенный вектор-момент; r_0 — радиус кривизны базисной линии; r_i ($i = \overline{1, n}$) — радиус кривизны линии пересечения срединной поверхности i -й оболочки и боковой поверхности стержня; $\vec{\rho}_i$ — радиус-вектор точки пересечения этой линии с плоскостью поперечного сечения.

Для нормальных к поперечному сечению стержня напряжений σ (в пренебрежении взаимным надавливанием его продольных волокон) на основании гипотезы плоских сечений имеем [9]

$$\sigma = E [(e_0 + \zeta\omega_\eta - \eta\omega_\zeta) r_0 (r_0 - \eta \cos \varphi + \zeta \sin \varphi)^{-1} - \alpha t]. \quad (3)$$

Здесь ω_η (ω_ζ) — обусловленный деформацией стержня относительный угол поворота поперечного сечения относительно оси $O\eta$ ($O\zeta$); E, α — модуль Юнга и коэффициент температурного расширения материала стержня; t — температура стержня.

Для определения усилий и моментов

$$V_\tau = \iint_D \sigma dF, \quad M_\eta = \iint_D \sigma \zeta dF, \quad M_\zeta = - \iint_D \sigma \eta dF$$

с учетом выражения (3) получаем

$$\begin{aligned} V_\tau &= E (A_{00}e_0 + A_{01}\omega_{0\eta} - A_{10}\omega_{0\zeta} - \alpha FT), \\ M_\eta &= E [A_{01}e_0 + A_{02}\omega_{0\eta} - A_{11}\omega_{0\zeta} - \alpha (W_x\Theta_x - y_0FT)], \\ M_\zeta &= E [A_{10}e_0 + A_{11}\omega_{0\eta} - A_{20}\omega_{0\zeta} - \alpha (W_y\Theta_y - x_0FT)], \\ A_{ij} &= r_0 \iint_D \eta^i \zeta^j (r_0 - \eta \cos \varphi + \zeta \sin \varphi)^{-1} dF. \end{aligned} \quad (4)$$

Здесь T, Θ_x, Θ_y — температурные аналоги осевого усилия и изгибающих моментов в стержне [9]; W_x, W_y — моменты сопротивления поперечного

сечения стержня при его изгибе относительно главных центральных осей $x'y'$; x_0, y_0 — координаты точки пересечения базисной линии с поперечным сечением стержня в системе координат $x'y'$.

Связь между крутящим моментом M_τ и относительным углом закручивания $\omega_{0\tau}$ в задаче термоупругости такая же, как и при отсутствии тепловых воздействий [9]:

$$M_\tau = G\omega_{0\tau}, \quad (5)$$

G — жесткость стержня при кручении.

В случае идеального механического контакта в областях сопряжения должны выполняться (кроме условий непрерывности напряжений, уже использованных выше при получении уравнений равновесия) также условия равенства векторов перемещений сопрягаемых элементов

$$(\vec{u})_{S_i} = (\vec{u})_{s_i} \quad (i = \overline{1, n}), \quad (6)$$

где \vec{u}^i — вектор перемещений точек i -й оболочки; \vec{u} — вектор перемещений точек стержня; S_i — поверхность контакта i -й оболочки и стержня.

Из соотношений (1), (2) и (4) — (6) получим условия на величины, описывающие напряженно-деформированное состояние оболочек. Рассмотрим случай, когда поперечное сечение стержня имеет ось симметрии, лежащую в плоскости оси стержня; в качестве базисной выберем нейтральную линию (для чистого изгиба стержня в плоскости его оси). В этом случае $\varphi = 0$; $A_{10} = A_{01} = A_{11} = 0$; $y_0 = 0$; $x_0 = \eta_0$; η_0 — расстояние от нейтральной линии до центра тяжести области D , определяемое по известной формуле [12].

Предположим, что линия пересечения срединной поверхности i -й оболочки с боковой поверхностью стержня совпадает с координатной линией $\alpha_i = \text{const}$ ($i = \overline{1, n}$). В этом случае для векторов контактных усилий $\vec{N}_1^{(i)}$ и контактных моментов $\vec{M}_1^{(i)}$ имеем следующие представления [11]:

$$\vec{N}_1^{(i)} = - (N_1^{(i)} \vec{e}_\alpha^{(i)} + T_1^{(i)} \vec{e}_\beta^{(i)} + Q_1^{(i)} \vec{e}_\gamma^{(i)}) \quad \vec{M}_1^{(i)} = M_{12}^{(i)} \vec{e}_\alpha^{(i)} - M_1^{(i)} \vec{e}_\beta^{(i)}. \quad (7)$$

Запишем зависимости между ортами $\vec{e}_\alpha^{(i)}, \vec{e}_\beta^{(i)}, \vec{e}_\gamma^{(i)}$ и $\vec{e}_\eta, \vec{e}_z, \vec{\tau}$ (см. рис. 1—2):

$$\begin{aligned} \vec{e}_\alpha^{(i)} &= -\vec{e}_\eta \sin(\psi_i - \varphi_i) - \vec{e}_z \cos(\psi_i - \varphi_i), \quad \vec{e}_\beta^{(i)} = \vec{\tau}, \\ \vec{e}_\gamma^{(i)} &= -\vec{e}_\eta \cos(\psi_i - \varphi_i) + \vec{e}_z \sin(\psi_i - \varphi_i) \quad (i = \overline{1, n}), \end{aligned} \quad (8)$$

а также зависимости между ортами $\vec{e}_\eta, \vec{e}_z, \vec{\tau}$ и их производными:

$$\begin{aligned} \vec{e}_\eta \times \vec{e}_z &= \vec{\tau}, \quad \vec{e}_z \times \vec{\tau} = \vec{e}_\eta, \quad \vec{\tau} \times \vec{e}_\eta = \vec{e}_z, \\ (\vec{e}_\eta)_s &= -r_0^{-1} \vec{\tau}, \quad (\vec{\tau})_s = r_0^{-1} \vec{e}_\eta, \quad (\vec{e}_\eta)_s = 0, \end{aligned} \quad (9)$$

$(\dots)_s$ — знак локальной производной по координате s_0 .

На основании гипотезы плоских сечений и теоремы Шаля [2] имеем

$$\vec{u} = \vec{u}_0 + (\vec{\theta} \times \vec{\rho}), \quad \vec{\rho} = \eta \vec{e}_\eta + \zeta \vec{e}_z. \quad (10)$$

Из равенств (6) с учетом разложения векторов $\vec{u}, \vec{u}_0, \vec{\theta}$ по ортам $\vec{e}_\eta, \vec{e}_z, \vec{\tau}$, выражений (2.2.5) и (2.2.6) из [11], а также формул перехода от координат $\alpha_i, \beta_i, \gamma_i$ к координатам η, ζ, s_0 (8) получаем

$$\begin{aligned} -u_i^* &= u_{0\eta} \sin(\psi_i - \varphi_i) + u_{0z} \cos(\psi_i - \varphi_i) + \\ &+ [\eta_i \cos(\psi_i - \varphi_i) - \zeta_i \sin(\psi_i - \varphi_i)] \theta_{0\tau}, \\ w_i^* &= -u_{0\eta} \cos(\psi_i - \varphi_i) + u_{0z} \sin(\psi_i - \varphi_i) + \\ &+ [\eta_i \sin(\psi_i - \varphi_i) + \zeta_i \cos(\psi_i - \varphi_i)] \theta_{0\tau}, \end{aligned} \quad (11)$$

$$v_i^* = u_{0\tau} - \eta_i \theta_{0\zeta} + \zeta_i \theta_{0\eta}, \left(A_i^{-1} \frac{\partial \omega_i}{\partial \alpha_i} - k_1^{(i)} u_i \right)_* = -\theta_{0\tau} \quad (i = \overline{1, n}).$$

В соотношениях (11) u_i, v_i, ω_i — составляющие вектора перемещений i -й оболочки; $u_{0\eta}, u_{0\zeta}, u_{0\tau}$ ($\theta_{0\eta}, \theta_{0\zeta}, \theta_{0\tau}$) — составляющие вектора перемещений (углов поворота) базисной линии стержня; $A_i, k_1^{(i)}$ — коэффициент Ламэ и соответствующая координате α_i главная кривизна срединной поверхности i -й оболочки; φ_i — угол между осями $O\eta$ и $O_i y_i$; $O_i x_i y_i$ — локальная система координат, связанная с i -й оболочкой (см. рис. 2); ψ_i — угол в плоскости поперечного сечения стержня, образованный нормальными к поверхности S_i и срединной поверхности i -й оболочки; η_i, ζ_i — координаты точки O_i в системе $O\eta\zeta$; звездочкой отмечены значения соответствующих величин в областях контакта.

Из соотношений (11) (при $i = 1$) и второго из соотношений (1) имеем

$$\begin{aligned} u_{0\zeta} &= \omega_*^{(1)}, \quad u_{0\eta} = u_*^{(1)}, \quad u_{0\tau} = v_*^{(1)}, \quad \theta_{0\tau} = -\theta_*^{(1)}, \\ \theta_{0\tau} &= (\omega_*^{(1)})_s, \quad \theta_{0\zeta} = (u_*^{(1)})_s + r_0^{-1} \theta_*^{(1)}. \end{aligned} \quad (12)$$

Здесь обозначено:

$$\begin{aligned} u_*^{(i)} &= -u_i^* \sin(\psi_i - \varphi_i) - \omega_i^* \cos(\psi_i - \varphi_i) - \zeta_i \theta_*^{(i)}, \\ \omega_*^{(i)} &= -u_i^* \cos(\psi_i - \varphi_i) + \omega_i^* \sin(\psi_i - \varphi_i) + \eta_i \theta_*^{(i)} \quad (i = \overline{1, n}), \\ v_*^{(i)} &= r_0 (r_0 - \eta_i)^{-1} \{ v_i^* + \zeta_i [-u_i^* \cos(\psi_i - \varphi_i) + \omega_i^* \sin(\psi_i - \varphi_i)]_s - \\ &\quad - \eta_i [u_i^* \sin(\psi_i - \varphi_i) + \omega_i^* \cos(\psi_i - \varphi_i)]_s \}, \\ \theta_*^{(i)} &= \left[A_i^{-1} \frac{\partial \omega_i}{\partial \alpha_i} - k_1^{(i)} u_i \right]_*, \quad (\dots)_s = (1 - \eta_i \cdot r_0^{-1}) B_1^{-1} \frac{d}{d\beta_1}. \end{aligned} \quad (13)$$

Выражения (12) для составляющих вектора перемещений и вектора углов поворота базисной линии стержня подставим в оставшиеся неиспользованными 4 $(n - 1)$ соотношений (11); в результате имеем 4 $(n - 1)$ условий, которым должны удовлетворять перемещения оболочек в областях сопряжения:

$$u_*^{(i)} = u_*^{(1)}, \quad \omega_*^{(i)} = \omega_*^{(1)}, \quad v_*^{(i)} = v_*^{(1)}, \quad \theta_*^{(i)} = \theta_*^{(1)} \quad (i = \overline{2, n}). \quad (14)$$

Недостающие 4 условия получим из уравнений равновесия стержневого элемента (2). Из соотношений (4) в рассматриваемом случае для усилий и моментов имеем

$$\begin{aligned} V_\tau &= EF(e_0 - \alpha T), \quad M_\eta = EA_{02}(\omega_{0\eta} - W_x A_{02}^{-1} \Theta_x), \\ M_\zeta &= EA_{20}[\omega_{0\zeta} + \alpha A_{20}^{-1}(W_y \Theta_y - \eta_0 FT)], \quad M_\tau = G\omega_{0\tau}. \end{aligned} \quad (15)$$

В формулы (1) вместо векторов \vec{u}_0 и $\vec{\theta}$ внесем их разложения по координатным ортам e_η, e_ζ и τ и используем формулу перехода от производной в неподвижной системе координат XYZ к локальной производной [2] и формулы (12). В результате для относительного удлинения e_0 и составляющих вектора относительных углов поворота $\omega_{0\eta}, \omega_{0\zeta}$ и $\omega_{0\tau}$ базисной линии стержневого элемента получим

$$\begin{aligned} e_0 &= (v_*^{(1)})_s + r_0^{-1} (\omega_*^{(1)})_s, \quad \omega_{0\eta} = -(\omega_*^{(1)})_{ss} - r_0^{-1} \theta_*^{(1)}, \\ \omega_{0\zeta} &= (u_*^{(1)})_{ss} + (r_0^{-1} v_*^{(1)})_s, \quad \omega_{0\tau} = -(\theta_*^{(1)})_s + r_0^{-1} (\omega_*^{(1)})_s. \end{aligned} \quad (16)$$

Из уравнений равновесия (6) с учетом (7) — (9) и (15) — (16) имеем

$$\begin{aligned} A [(v_*^{(1)})_s - r_0^{-1} u_*^{(1)})_s - Cr_0^{-1} [(u_*^{(1)})_{ss} + (r_0 v_*^{(1)})_s]_s - \\ - \sum_{i=1}^n r_i r_0^{-2} [M_{12}^{(i)} \cos(\psi_i - \varphi_i) + (r_0 - \eta_i) T_1^{(i)}] = \\ = \alpha [(1 - \eta_0 r_0^{-1}) A(T)_s - W_y r_0^{-1} A_{20}^{-1} C(\Theta_y)_s] - m_c, \end{aligned}$$

$$\begin{aligned}
& C [\langle u_*^{(1)} \rangle_{ss} + \langle r_0^{-1} v_*^{(1)} \rangle_{ss} - A r_0^{-1} [\langle v_*^{(1)} \rangle_s - r_0^{-1} u_*^{(1)}] - \\
& - \sum_{i=1}^n \{ r_i r_0^{-1} [M_{12}^{(i)} \cos(\psi_i - \varphi_i) - \eta_i T_1^{(i)}] \}_s - \sum_{i=1}^n r_i r_0^{-1} N_i^* = \\
& = \alpha \{ A [\tau_0 (T)_{ss} - r_0^{-1} T] - C W_y A_{20}^{-1} (\Theta_y)_{ss} \} + N_0 - (m\zeta)_s, \quad (17) \\
& - B [\langle w_*^{(1)} \rangle_{ss} + r_0^{-1} \langle \theta_*^{(1)} \rangle_{ss}] + G \{ r_0^{-1} [- \langle \theta_*^{(1)} \rangle_s + r_0^{-1} \langle w_*^{(1)} \rangle_s] \}_s + \\
& + \sum_{i=1}^n \{ r_i r_0^{-1} [- M_{12} \sin(\psi_i - \varphi_i) - \zeta_i T_1^{(i)}] \}_s + \sum_{i=1}^n r_i r_0^{-1} P_i^* = \\
& = \alpha B W_x A_{02}^{-1} (\Theta_x)_{ss} + P_0 (m\eta)_s, \\
& G [- \langle \theta_*^{(1)} \rangle_s + r_0^{-1} \langle w_*^{(1)} \rangle_s] + B r_0^{-1} [\langle w_*^{(1)} \rangle_{ss} + r_0^{-1} \langle \theta_*^{(1)} \rangle] - \\
& - \sum_{i=1}^n r_i r_0^{-1} (M_{11}^{(i)} - \eta_i P_i^* - \zeta_i N_i^*) = - \alpha B W_x (r_0 A_{02})^{-1} \Theta_x - m\zeta.
\end{aligned}$$

Здесь A , B , C — жесткости стержня на растяжение и изгиб, $A = EF$, $B = EA_{02}$, $C = EA_{20}$;

$$\begin{aligned}
N_i^* &= N_{11}^{(i)} \sin(\psi_i - \varphi_i) + Q_{11}^{(i)} \cos(\psi_i - \varphi_i), \\
P_i^* &= N_{11}^{(i)} \cos(\psi_i - \varphi_i) - Q_{11}^{(i)} \sin(\psi_i - \varphi_i).
\end{aligned}$$

Соотношения (14) и (17) представляют собой $4n$ условий, которым должны удовлетворять решения уравнений термоупругости оболочек. Таким образом, для определения термонапряженного состояния системы n оболочек, сопряженных с помощью стержневого элемента, необходимо решить уравнения, описывающие напряженно-деформированное состояние оболочек [1, 11], при соответствующих краевых условиях и условиях (14) и (17).

Соотношения (14) и (17) представляют собой условия неидеального термомеханического контакта сопряженных оболочек. Они непосредственно связывают перемещения, усилия и моменты сопрягаемых оболочек и содержат в качестве коэффициентов физико-механические и геометрические параметры стержневого элемента, посредством которого осуществляется сопряжение, а также интегральные характеристики его температурного поля.

Если поставленная задача для сопрягаемых оболочек решена, то перемещения, деформации, моменты и осевое усилие в стержневом элементе определяются путем дифференцирования известных уже величин по формулам (12), (13), (15) и (16), а для определения перерезывающих усилий имеем выражения

$$\begin{aligned}
V_\eta &= - (M_\zeta)_s + \sum_{i=1}^n r_i r_0^{-1} [M_{12}^{(i)} \cos(\psi_i - \varphi_i) - \eta_i T_1^{(i)}] - m\zeta, \\
V_\zeta &= (M_\eta)_s - r_0^{-1} M_\tau - \sum_{i=1}^n r_i r_0^{-1} [M_{12}^{(i)} \sin(\psi_i - \varphi_i) + \zeta_i T_1^{(i)}] + m\eta,
\end{aligned}$$

которые, как и соотношения (17), следуют из уравнений равновесия стержневого элемента (2).

1. Амбарцумян С. А. Общая теория анизотропных оболочек. — М.: Наука, 1974. — 446 с.
2. Бухгольц Н. Н. Основной курс теоретической механики: В 2-х ч. — М.: Наука, 1967. — Ч.1. 467 с.
3. Караванский О. В. О термомеханическом контакте пластин, соединенных ребром жесткости. — Прикл. механика, 1970, 6, № 7 с. 85—93.
4. Підстригач Я. С. Умови теплового контакту твердих тіл. — Доп. АН УРСР, 1963, № 8, с. 872—874.
5. Підстригач Я. С. Температурное поле в системе твердых тел, сопряженных с помощью тонкого промежуточного слоя. — Инж.-физ. журн., 1963, 6, № 10, с. 127—137.

6. Подстригач Я. С. Влияние инородных включений на распределение температурных полей и напряжений в упругих телах. — Концентрация напряжений, 1965, вып. 1, с. 207—218.
7. Подстригач Я. С., Коляно Ю. М. Обобщенная термомеханика. — Киев: Наук. думка, 1976. — 310 с.
8. Подстригач Я. С., Коляно Ю. М. Неустановившиеся температурные поля и напряжения в тонких пластинках. — Киев: Наук. думка, 1972. — 308 с.
9. Подстригач Я. С., Чернуха Ю. А., Войтович Н. И. К определению температурных полей и напряжений в оболочках, сопряженных через стержень. — В кн.: Математические методы в термомеханике. Киев: Наук. думка, 1978, с. 3—11.
10. Подстригач Я. С., Шевчук П. Р. О напряженно-деформированном состоянии нагреваемых упругих тел, содержащих включения в виде тонких оболочек. — Прикл. механика, 1967, 3, № 6, с. 8—16.
11. Подстригач Я. С., Швеиц Р. Н. Термоупругость тонких оболочек. — Киев: Наук. думка, 1978. — 343 с.
12. Тимошенко С. П. Соппротивление материалов: В 2-х т. — М.: Наука, 1965. — Т. 1. 363 с.

Ин-т прикладных проблем
механики и математики АН УССР.
Львов

Получено 15.02.84

УДК 539.377

В. С. Попович

УРАВНЕНИЯ ТЕРМОУПРУГОСТИ АРМИРОВАННЫХ ПЛАСТИНАМИ ИЗОТРОПНЫХ ТЕЛ

Рассмотрим тело, армированное слоями конечной толщины (рисунок). Физико-механические характеристики такого тела можно представить в виде [5]

$$p(z) = p_1 + (p_0 - p_1) \sum_{i=1}^n N_i(z), \quad (1)$$

где $N_i(z) = S_-(z - h_i + h) - S_+(z - h_i - h)$; p_1, p_0 — физико-механические характеристики основного материала и материала армирующих слоев; h_i — координата срединной плоскости i -го слоя; n — количество армирующих слоев; $S_{\pm}(\xi)$ — асимметричные единичные функции [2].

Подставив коэффициент теплопроводности $\lambda_i(z)$, удельную теплоемкость $c(z)$ и плотность $\rho(z)$, представленные в виде (1), в уравнение теплопроводности неоднородного тела [1], учитывая при этом, что в виде (1) представляется и любая комбинация характеристик, а коэффициенты Ляме $\lambda(z)$, $\mu(z)$ и температурный коэффициент линейного расширения $\alpha_i(z)$, представленные аналогично, — в уравнения движения неоднородного тела [1], после некоторых преобразований приходим к уравнениям термоупругости армированных тел с коэффициентами типа ступенчатых и импульсных функций:

$$\begin{aligned} \Delta t + \frac{\lambda_i^{(0)} - \lambda_i^{(1)}}{\lambda_i^{(1)}} \sum_{i=1}^n \left[\frac{\partial t}{\partial z} \Big|_{z=h_i^-} \delta_-(z - h_i^-) - \frac{\partial t}{\partial z} \Big|_{z=h_i^+} \delta_+(z - h_i^+) \right] = \\ = \left[\frac{1}{a_1} + \left(\frac{1}{a_0} - \frac{1}{a_1} \right) \sum_{i=1}^n N_i(z) \right] \dot{t} - \left[\frac{1}{\lambda_i^{(1)}} + \left(\frac{1}{\lambda_i^{(0)}} - \frac{1}{\lambda_i^{(1)}} \right) \sum_{i=1}^n N_i(z) \right] \omega_i, \quad (2) \end{aligned}$$

$$\begin{aligned} \Delta u + (1 + \omega_\lambda) \frac{\partial e}{\partial x} + \frac{\mu_0 - \mu_1}{\mu_1} \sum_{i=1}^n \left[\left(\frac{\partial u}{\partial z} + \frac{\partial w}{\partial x} \right) \Big|_{z=h_i^-} \delta_-(z - h_i^-) - \right. \\ \left. - \left(\frac{\partial u}{\partial z} + \frac{\partial w}{\partial x} \right) \Big|_{z=h_i^+} \delta_+(z - h_i^+) \right] = \omega_3 \frac{\partial \theta}{\partial x} + \omega_p \ddot{u} \quad (x, u \rightleftharpoons y, v), \end{aligned}$$